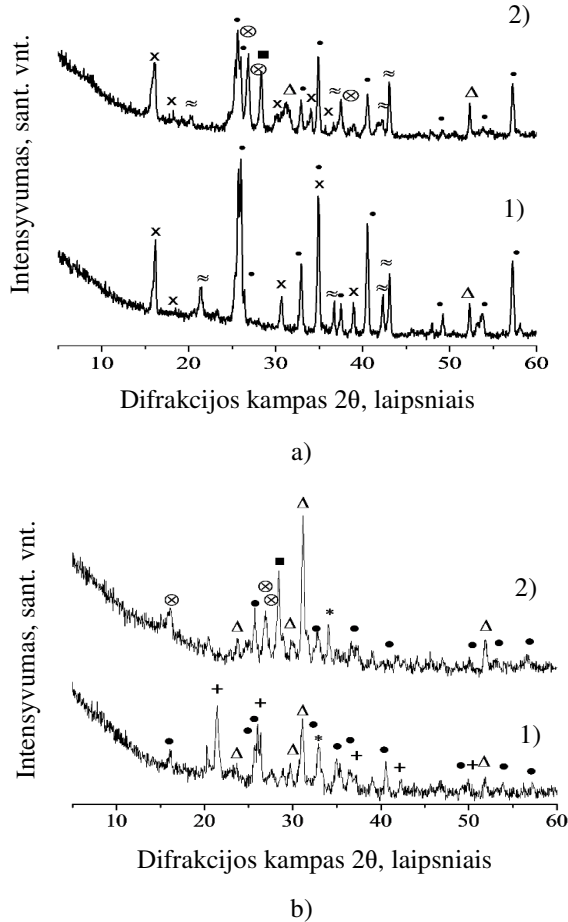


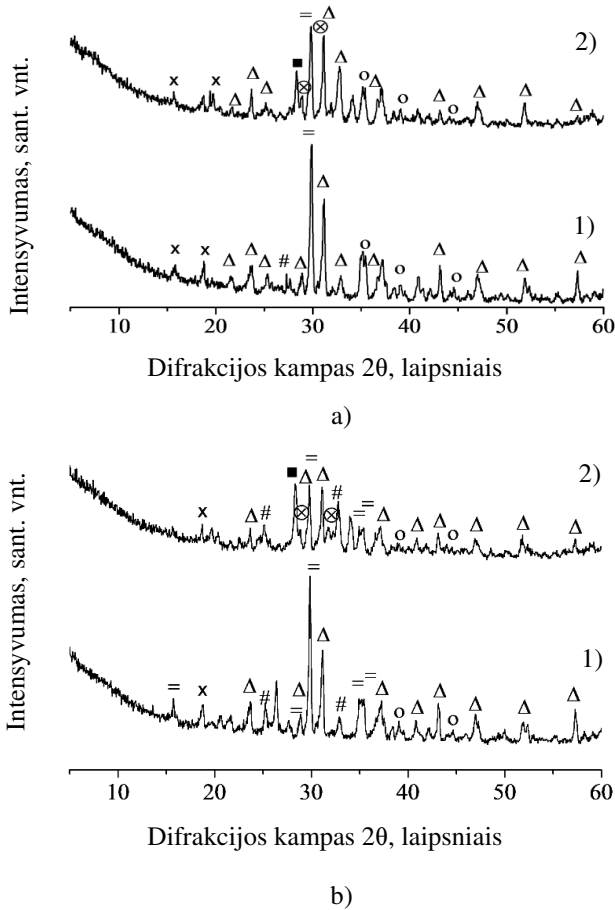
A priedas. Komercinių ugniai atsparių medžiagų, prieš ir po bandymų su K_2CO_3 tabletės metodu po degimo $1100\text{ }^\circ\text{C}$ temperatūroje, rentgenogramos



A1. pav. Komercinių ugniai atsparių medžiagų, prieš (1) ir po bandymų su K_2CO_3 tabletės metodu (2) po degimo $1100\text{ }^\circ\text{C}$ temperatūroje, rentgenogramos: a – ŠP; b – ŠB; x – anortitas; • – mulitas; ≈ – kristobalitas; Δ – gelenitas; + – kvarcas; * – gematitas; ■ – lauko špatai; ⊗ – leucitas

Fig. A1. The X-ray diffraction patterns of commercial refractory materials under the investigation before (1) and after the tests with K_2CO_3 (2) upon applying with the tablet method after firing at the temperature of $1100\text{ }^\circ\text{C}$: a – ŠP; b – ŠB; x – anorthite; • – mullite; ≈ – cristobalite; Δ – gehlenite; + – quartz; * – hematite; ■ – feldspar; ⊗ – leucite

B priedas. Tiriamojo ugniai atsparaus betono, prieš ir po bandymų su K_2CO_3 tabletės metodu po degimo 1100 °C temperatūroje, rentgenogramos



1B pav. Tiriamojo ugniai atsparaus betono, prieš (1) ir po bandymų su K_2CO_3 tabletės metodu (2) po degimo 1100 °C temperatūroje, rentgenogramos: a – B4; b – B6; x – anortitas; Δ – gelenitas; # – CA_2 ; = – CA; o – korundas; ■ – lauko špatai; ⊗ – leucitas

Fig. 1B. The X-ray diffraction patterns of the refractory castable under the investigation before (1) and after the tests with K_2CO_3 (2) upon applying with the tablet method after firing at the temperature of 1100 °C: a – B4; b – B6; x – anorthite; Δ – gehlenite; # – CA_2 ; = – CA; o – corundum; ■ – feldspar; ⊗ – leucite